

محاسبه آب قابل بارش رادیوساوند

با استفاده از داده‌های ماهواره‌ای MODIS در جو گرگانرود

سید مهدی پورباقر^۱، قاسم عسکری^۲، حسین مومن زاده^۳ و پاول منزل^۴

چکیده: یکی از مشکلات روند یابی سیل در حوزه سیل خیز گرگانرود نقصان اطلاعات از بخار آب ستون اتمسفر بدليل فقدان ایستگاه رادیوساوند است. بمنظور جبران گپ یا شکاف اطلاعاتی، اقدام به تهیه داده های ماهواره ای MODIS-level1 در تاریخ های ۲۰۰۵/۸/۱۸ و ۲۰۰۵/۸/۲۱ بطور آزمایشی گردید. سپس تصحیحات هندسی بمنظور زمین مرجع کردن و رادیومتریک بمنظور تبدیل مقادیر عددی پیکسلها به مقادیر رادیانس واقعی انجام گرفت. آنگاه از الگوریتم Near-IR-MODIS جهت استخراج آب قابل بارش کلی با نسبت گیری باندهای مخصوص بخار آب جذبی که شامل باندهای شماره ۱۷، ۱۸ و ۱۹ به باند غیر جذبی بخار آب یعنی باند شماره ۲ مادیس استفاده شد، تا نقشه های توزیع مکانی TPW برای حوزه گرگانرود بدست آید. در نهایت با توجه به مطالعات قبلی، رابطه آماری جهت رسیدن به مقادیر بخار آب رادیوساوند جو گرگانرود به کمک داده های پردازش شده MODIS ارایه شد.

کلید واژه: گرگانرود، تصاویر ماهواره ای، آب قابل بارش، MODIS

۱- مقدمه

تصاویر ماهواره‌ای تخمین می‌زنند Princea et al, (1998) بدین

طریق قادر به پیش بینی وضعیت پتانسیل بارش بوده و در مراحل بعدی (مرحله تراکم و تولید ابر) نیز با در نظر گرفتن فاز ابر(یخی یا آبی بودن) و اطلاعات کمکی مانند موقعیت جغرافیائی، فصل سال، زمان سال و غیره قادر به پیش بینی نوع و مقدار بارش می‌باشد [۵]. پژوهشگران آب قابل بارش کلی را با استفاده از الگوریتم هایی بر مبنای باند های حرارتی تصاویر ماهواره‌ای فاقد ابر، بدست می‌آورند، الگوریتم زیر نمونه ای از روش استخراج آب قابل بارش از باند های بخار آب تصاویر ماهواره ای می‌باشد [۱۰].

(۱)

$$PW = 1/\Delta\alpha \{ (1/\sec\theta) \ln[\tau_{s11}/\tau_{s12}] - \Delta k \}$$

که آب قابل بارش، اختلاف جذبی بین دو باند بخار آب، اختلاف جذبی بین دو باند ناشی از سایر گازهای سمت الراس ماهواره و نسبت شفافیت یا عبوردهی بخار آب است. شفافیت(عبور) جو در باندهای ۱۱ و ۱۲ میکرومتر می‌باشد.

INOUE و AOKI (۱۹۸۲) کل آب قابل بارش را روی

اقیانوس های مناطق حاره ای با کمک باند فروسرخ (۱۰/۵ تا ۱۲/۵

محاسبه دقیق آب قابل بارش کلی مستلزم آگاهی دقیق از حجم بخار آب در جو است [۱]. مهمترین پارامترهایی که رادیوساوندها از لایه های مختلف جو اندازه می‌گیرند، شامل فشار، دما، نقطه شبنم، سرعت و جهت باد است.(امیدی، ۱۳۷۹) با استفاده از این پارامترها، به طور سنتی و غیر مستقیم، میزان حجم بخار آب جو در ستونی که رادیوساوند در آن حرکت کرده است، برآورد می‌شود [۲]. ولی الزاماً برای استفاده در پهنه های وسیعتر مانند مناطق سیل خیز کشور، حوزه گرگانرود، اطلاعات پروفیل جوی مورد نیاز برای سامانه های هشدار سیل هستیم. بعارتی رادیوساوندها فقط در زمان و مکان های معینی، به جو فرستاده می‌شوند، پس برای محاسبه TPW در پهنه های وسیع با کمبود داده و یا احتمالاً داده های اشتباه مواجه هستیم. اشتباه در داده ها به این دلیل است که رادیوساوندها ممکن است در گذر از ابرها میزان بخار آب جو را به دلیل وجود ذرات بسیار ریز و در حد چند مولکول آب بیش از مقدار واقعی گزارش کنند [۳]. Carlo, (1985) با وجود این محدودیت ها، از رادیوساوند برای مدلسازی و اعتبارسنجی آب قابل بارش ماهواره ای در سطح دنیا استفاده می‌شود [۴]. پژوهشگران آب قابل بارش کلی را در مناطق فاقد ابر با استفاده از

۱. کارشناس ارشد سنجش از دور و GIS. سازمان هواشناسی کشور

۲. کارشناس ارشد زیست محیطی، سازمان هواشناسی کشور

۳. حسین مومن زاده، کارشناس ارشد هواشناسی کشاورزی، سازمان هواشناسی کشور

۴. دکتری هواشناسی ماهواره ای، دانشگاه ویس کانسون نیویورک

۳- نرم افزار ENVI 4.2 بمنظور پردازش داده ها، فرمول نویسی و اجرای الگوریتم فروسرخ نزدیک مادیس

۴- نرم افزار HDF explore برای استخراج ضرایب کالیبراسیون از هدر فایل سنجنده MODIS

۵- Shape file ARC GIS 9. از این نرم افزار برای ساخت های استان گلستان و نیز تحلیل های فضایی بر روی تصاویر ماهواره ای استفاده شده است.

۳- روش کار

با استفاده از دو باند بخار آب فروسرخ نزدیک (۰/۹۰۵ و ۰/۹۴۰ میکرومتر) و نیز باندهای روزنہ بخار آب (۰/۸۶۵ و ۰/۲۴ میکرومتر) استخراج کل مقدار بخار آب ستون جو از داده های مادیس امکان پذیر می شود. از نسبت گیری تابش اندازه گیری شده در باند جذبی (۰/۰۲۵ و ۰/۰۴۰) و یا (۰/۰۱۵ و ۰/۹۰۵ میکرومتر) به باند غیر جذبی (۰/۰۲۰ و ۰/۰۸۶۵) استخراج آب ستون جوروی اراضی خشکی را امکان پذیر می کند [۷].

دقت برآورد آب قابل بارش ماهواره ای در این الگوریتم بستگی به دقت محاسبه شفافیت جو (T_w) یا همان قابلیت عبور بخار آب دارد که بصورت زیر محاسبه کرده ایم:

الف) شفافیت جو در باند جذبی متوسط بخار آب

$$T_w(940/865) = \rho_{0.915-0.965}^* / \rho_{0.845-0.885}^* \quad (۶)$$

ب) شفافیت جو در باند جذبی ضعیف بخار آب

$$T_w(905/865) = \rho_{0.89-0.92}^* / \rho_{0.845-0.885}^* \quad (۷)$$

ج) شفافیت جو در باند جذبی قوی بخار آب

$$T_w(936/865) = \rho_{0.93-0.94}^* / \rho_{0.845-0.885}^* \quad (۸)$$

$$\rho^* = \text{بازتابندگی ظاهری محاسبه شده در بالای جوبهای هر باند}$$

$$T_w = \text{شفافیت یا عبور بخار آب}$$

بازتابندگی ظاهری عبارت از نسبت بین رادیانس واقعی رو به بالا به رادیانس یک سطح کاملاً لامبرتی که میزان بازتابندگی آن جسم ۱۰۰ درصد است (کافمن-۱۹۹۲). بازتابندگی ظاهری را بصورت زیر ارائه می دهند [۷]:

میکرومتر) از ماهواره GMS ژلپی استخراج کردند. داده های بدست آمده از این ماهواره توافق خوبی با داده های رادیو ساوند داشتند آنها خطای RMS را ۰/۵۳ گرم بر سانتی متر مریع بدست آورده، و از معادله زیر برای برآورد TPW استفاده کردند:

(۲)

که در آن χ تخمین آب قابل بارش و S_z ماتریس کوواریانس است و σ_z انحراف معیار خطای اندازه گیری در دمای درخشندگی اندازه گیری شده توسط سنجنده ($T_B^0 = T_B - T_s^0$) است. T_B دمای درخشندگی اولیه فرضی است. حاصلضرب چند پارامتر فیزیکی در دو زمان می باشد که بصورت زیر تعریف می شود.

$$K_1 = \frac{\partial \bar{T}}{\partial \rho} D_p + \tau_s^0 \ln \tau_s^0 [T_s^0 - T^0(\rho_s)] \quad (۳)$$

$$k_2 = 1 - \tau_s^0, k_3 = \tau_s^0 \quad (۴)$$

$$x_1 = r, x_3 = \Delta T_s, x_2 = \Delta T \quad (۵)$$

τ_s^0 تابع شفافیت جودر سطح زمین است. در دهه ۱۹۹۰ روشهای جدیدی برای تخمین TPW با در نظر گرفتن تغییرات دمایی روی اراضی خشک با استفاده از تصاویر ماهواره انجام گرفته است که نمونه ای از این کار توسط McMillin و Kleespies در سال ۱۹۹۰ انجام گرفت [۱۰].

۲- منطقه مورد مطالعه

ایستگاه هواشناسی آق قلا در حوزه آبخیز گرگانرود و در موقعیت ۵۴ درجه و ۲۸ دقیقه طول جغرافیایی و ۳۷ درجه و ۰۱ دقیقه عرض جغرافیایی و به ارتفاع ۷ متر از سطح دریا، بعنوان منطقه مورد مطالعه انتخاب کردیم.

از داده ها و ابزارهای زیر در این تحقیق استفاده کردیم:

- داده های جو بالا شامل داده های رادیوساوندی همزمان با ماهواره Terra

- باندهای مخصوص بخار آب داده های ماهواره ای Terra-

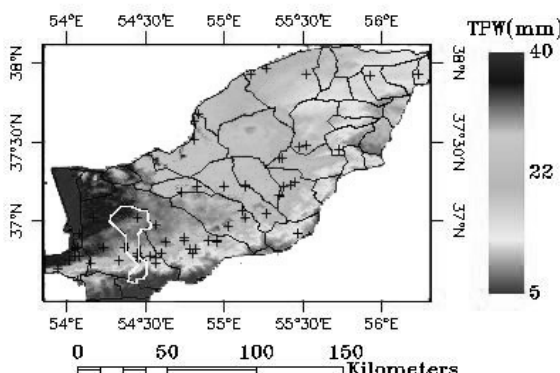
MODIS

انعکاس پدیده‌ها Reflectance ، DN مقادیر عددی پیکسل‌ها، Offset و scale ضرایب کالیبراسیون می‌باشند. در این مقاله به کمک باندهای مخصوص بخار آب ماهواره-TRAA MODIS پتانسیل بارش را برای حوزه سیل خیز گرگانرود بدست آورده و آنگاه با توجه به مطالعات قبلی، یک رابطه آماری برای بدست آوردن آب قابل بارش رادیوساوند به کمک داده‌های ماهواره‌ای مذکور ارائه داده شد.

۴- پردازش و استخراج اطلاعات از داده‌های سنجنده MODIS ۲۰۰۵/۸/۱۸ مورخ

استخراج میانگین مقادیر آب قابل بارش کلی حاصل از نسبت باندی ۱۸ به ۲ (باند جذبی قوی بخار آب) بعد از عملیات پیش پردازش شامل تصحیحات رئومتریک و رادیومتریک بر روی داده‌های خام MODIS، با اعمال الگوریتم Near-IR-MODIS، (الگوریتم شماره ۱) که خروجی آن آب قابل بارش ستون اتمسفر می‌باشد، تغییرات مکانی و نیز مقادیر آماری TPW برای پیکسل به پیکسل از حوزه سیل خیز گرگانرود در تاریخ ۲۰۰۵/۸/۱۸ بدست آورده شد (شکل ۱). توصیف الگوریتم مذکور در منبع شماره ۳ آمده است.

$$\hat{x} = S_t K' (K S_x K' + \sigma_z^2)^{-1} \Delta T_B$$



شکل ۱- با اجرای الگوریتم شماره ۲۱ میانگین مقدار آب قابل بارش کلی حاصل از نسبت باندی ۱۸ به ۲ برای ایستگاه آق قلا در حوضه گرگانرود ۲۴.۵ میلی متر بدست آمده است.

$$\rho_{(\lambda)}^* = \frac{L_{(Sensor)}(\lambda)}{L_{(Sun)}(\lambda)} \quad (9)$$

رابطه بین شفافیت بخار آب (T_w) و بخار آب قابل بارش کلی (TPW) را می‌توان بصورت نمایی نشان داد. علاوه بر این بخاطر اشباع بودن جذب بخار آب، ریشه دوم W یعنی عنوان متغیر مستقل در نظر گرفته شده است [۷]:

$$T_w (940/865) = \exp(\alpha - \beta \sqrt{W}) \quad (10)$$

α و β ضرایب ثابت منطقه‌ای هستند که بستگی به نوع پوشش منطقه و نوع دید ماهواره دارد.

با توجه به زوایای سمت الراس خورشید و ماهواره می‌توان مقدار W را در مسیر اپتیکی سنسور-خورشید-زمین تعریف کرد:

$$W^* = \left(\frac{\alpha - L_n T_w}{\beta} \right)^2 \times \left(\frac{1}{\cos \theta_0} + \frac{1}{\cos \theta} \right) \quad (11)$$

که از این الگوریتم برای محاسبه آب قابل بارش ماهواره‌ای در محیط استفاده کرده ایم ENVI

که در آن θ زاویه سمت الراس ماهواره، θ زاویه سمت الراس خورشید است و W^* همان TPW یا آب قابل بارش کلی در مسیر اپتیکی سنسور-خورشید-زمین بر حسب سانتیمتر است. α و β ضرایب ثابتی که بستگی به نوع پوشش سطحی دارد و مثلاً برای انواع پوشش‌های گیاهی و خاک تغییر می‌کند.

برای اجرای الگوریتم Near-IR-MODIS (پورباقر، ۱۳۸۵) دو تصویر ماهواره‌ای از MODIS با زوایش ۱ کیلومتر در روزهای ۲۰۰۵/۸/۱۸ و ۲۰۰۵/۸/۲۱ انتخاب و تصاویر با روش نزدیکترین همسایه در محیط نرم افزاری ENVI بازنویسی شدند [۳]. تصحیحات رادیومتریک نیز با اعمال ضرایب اصلاحی scale و Offset که از HDF reader MODIS Header file در محیط نرم افزاری ENVI فرمولیته شده و سرانجام خوانده و آنگاه در محیط نرم افزاری ENVI تابش خورشید و میل ماهواره و نیز تاثیرات دید پاسو و غیر پاسو، مانند زوایای سمت الراس خورشید و ماهواره اصلاح شدند. برای تصحیح مقادیر دمای درخشندگی اندازه گیری شده توسط ماهواره از رابطه زیر استفاده شده است:

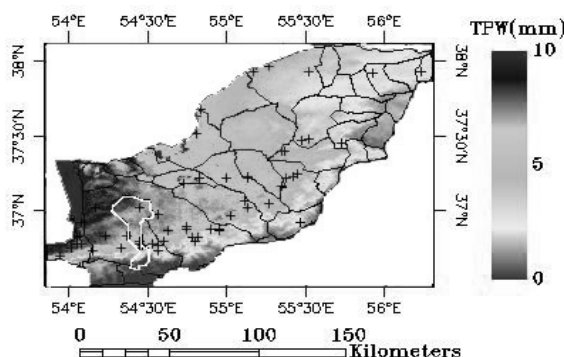
که در آن؛

$$\text{Reflectance} = \text{scale} * (\text{DN} - \text{Offset})$$

۲۰۰۵/۸/۱۸

با اجرای الگوریتم ذیل میانگین مقدار آب قابل بارش کلی حاصل از نسبت باندی ۱۷ به ۲ برای ایستگاه آق قلا در حوضه گرگانزود، ۱۸.۰۴ میلی متر بدست آمده است(شکل ۳).
(۱۴)

$$(((0.02 - \log(b17/b2))/0.65)^2 \times ((1/\cos(22.57 \times 3.14/180)) + (1/\cos(30.13 \times 3.14/180))))$$



شکل ۳- نقشه خروجی حاصل از اعمال الگوریتم شماره ۱۴(که میانگین بخار آب قابل بارش را بر حسب میلی متر نشان می دهد).

رابطه آماری پیشنهادی برای محاسبه $TPW_{Radiosonde}$ رادیوساوند در جو گرگانزود (۲۰۰۵/۸/۱۸)
بر اساس داده های داشتی و مطالعات قبلی در ایستگاه رادیوساوند مهرآباد و ماهاواره در گمانه زنی های ستون عمودی از جو، مدل ساده و کاربردی زیر برای تخمین آب قابل بارش کلی به کمک داده های ماهاواره ای پیشنهاد می شود. لازم به ذکر است این رابطه با فرض عادی بودن شرایط جو، قابل بررسی است. یعنی در شرایط غیر متعارف جو، محاسبات پیچیده تر خواهد بود.
که در آن:

$TPW_{Radiosonde}$ میانگین آب قابل بارش کلی رادیوساوند بر حسب میلی متر و اعداد ۱/۷۱۷۸ و ۱/۹۳۳۱ ضرایب ثابت آماری می باشند بقیه پارامترها قبلًا تعریف شده اند.

با استفاده از مدل فوق مقادیر TPW های رادیوساوند برای حوضه گرگانزود محاسبه شده و در جدول ۱ آورده شده است.

$$(((0.02 - \log(b18/b2))/0.65)^2 \times ((1/\cos(22.57 \times 3.14/180)) + (1/\cos(30.13 \times 3.14/180)))) \quad (۱۲)$$

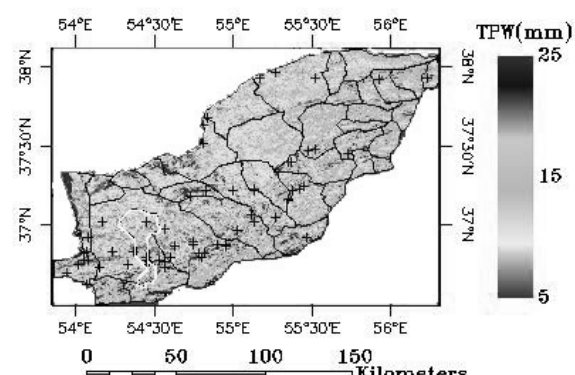
که در آن $b18/b2$ نسبت باند شماره ۱۸ مادیس (باند جذبی قوی بخار آب) به باند شماره ۲(باند روزنی بخار آب) می باشد. ضرایب ۰.۶۵ و ۰.۰۰۲ به ترتیب زوایای زنیت یا سمت الراس خورشید و ماهاواره هستند که از هدر فایل در مراحل پردازشی قابل دسترسی هستند.

۴- میانگین مقدار آب قابل بارش کلی حاصل از نسبت باند ۱۹ به ۲(باند جذبی نرمآل بخار آب) مورخ

۲۰۰۵/۸/۱۸

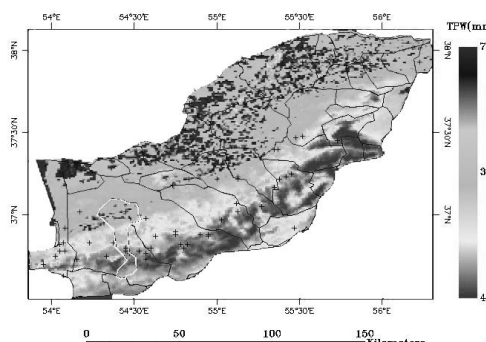
با اجرای الگوریتم ۱۳ مقدار آب قابل بارش حاصل از نسبت باندی ۱۹ به ۲ برای ایستگاه آق قلا در حوضه گرگانزود ۱۲.۲ میلی متر در تاریخ ۲۰۰۵/۸/۱۸ بدست آمده است.
(۱۳)

$$(((0.02 - \log(b19/b2))/0.65)^2 \times ((1/\cos(22.57 \times 3.14/180)) + (1/\cos(30.13 \times 3.14/180))))$$



شکل ۲- نقشه خروجی حاصل از اعمال الگوریتم شماره ۱۳(که میانگین بخار آب قابل بارش را بر حسب میلی متر نشان می دهد)
۴- میانگین مقدار آب قابل بارش کلی حاصل از نسبت باند ۱۷ به ۲ (باند جذبی ضعیف بخار آب) مورخ

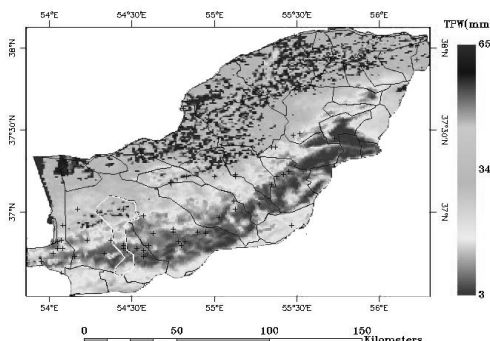
تعیین کلاسه کیفی آب رودخانه‌های شهرستان نور / ۵۳



شکل ۵- با اجرای الگوریتم ذیل مقدار میانگین آب قابل بارش حاصل از نسبت باندی ۲ به ۱۹ در تاریخ ۲۰۰۵/۰۸/۲۱ برای ایستگاه آق قلا در حوضه گرگان و ۳۰.۰۵ میلی متر بدست آمده است.

(۱۷)

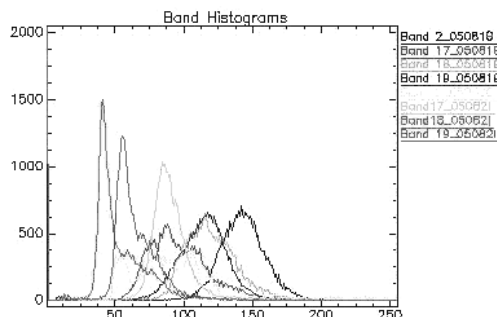
$$(((0.02 - \log(b19/b2)) / 0.65)^2 \times ((1 / \cos(31.33 \times 3.14 / 180)) + (1 / \cos(13.8 \times 3.14 / 180)))$$



شکل ۶- با اجرای الگوریتم ۱۸ مقدار میانگین آب قابل بارش حاصل از نسبت باندی ۲ به ۱۷ در تاریخ ۲۰۰۵/۰۸/۲۱ برای ایستگاه آق قلا در حوضه گرگان و ۲۱.۷۵ میلی متر بدست آمده است.

(۱۸)

$$(((0.02 - \log(b17/b2)) / 0.65)^2 \times ((1 / \cos(31.33 \times 3.14 / 180)) + (1 / \cos(13.8 \times 3.14 / 180)))$$

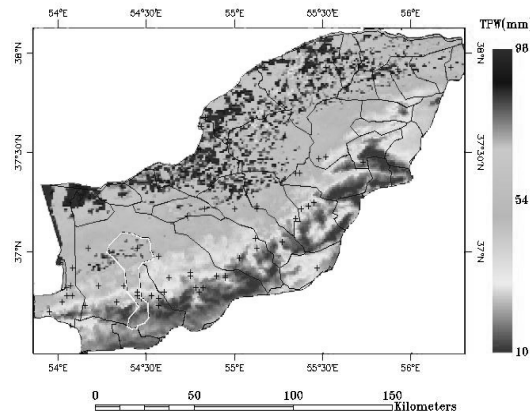


شکل ۷- هیستوگرام باندهای بکار گرفته شده در دو تاریخ نشان می‌دهد که تغییرات بخار آب جو در تاریخ ۲۰۰۵/۰۸/۲۱ به مراتب پیش از سه روز قبل است.

۳-۴- پردازش و استخراج اطلاعات از داده‌های سنجنده

۲۰۰۵/۰۸/۲۱ مورخ MODIS

تمامی مراحل پردازش و اعمال الگوریتم مذکور، بر روی تصویر مورخ ۲۰۰۵/۰۸/۲۱ مربوط به MODIS نیز انجام گرفته و فقط خروجی نقشه‌ها در زیر آورده شده است.



شکل ۴- با اجرای الگوریتم ذیل مقدار آب قابل بارش حاصل از نسبت باندی ۲ به ۱۸ در تاریخ ۲۰۰۵/۰۸/۲۱ برای ایستگاه آق قلا در حوضه گرگان و ۴۱.۱۱ میلی متر بدست آمده است.

(۱۶)

$$(((0.02 - \log(b18/b2)) / 0.65)^2 \times ((1 / \cos(31.33 \times 3.14 / 180)) + (1 / \cos(13.8 \times 3.14 / 180)))$$

همانطور که در تصویر فوق دیده می‌شود میزان آب قابل بارش کلی در این تاریخ نسبت به سه روز قبل (۲۰۰۵/۰۸/۱۸) افزایش ناگهانی داشته است که یکی از علل آن نفوذ توده هوای مرطوب همراه با پیکسلهای ابری به رنگ آبی در حوضه مورد مطالعه است. با بررسی هیستوگرام تمام باندهای مورد استفاده در دو تاریخ معلوم شده است که جو تاریخ ۲۰۰۵/۰۸/۲۱ روند افزایشی در پتانسیل بارانزایی دارد (شکل ۷). با توجه به تعریف حد آستانه سیل برای مناطق سیل خیز، می‌توان میزان ریسک آن را از اینگونه تصاویر پیش بینی کرد.

و ۱۷ به ۲ مادیس بهترین و مناسبترین باندها در برآورد TPW به کمک تصاویر ماهواره ای MODIS و نسبت باندی ۱۸ به ۲ نامناسبترین نسبت باندی بخار آب برای منطقه گرگانروود هستند.

همچنین نتایج بدست آمده از مقادیر آب قابل بارش ماهواره ای با استفاده از الگوریتم باند فرسخ نزدیک MODIS نشان داده است

که میزان TPW در حوضه گرگانروود حوالی ایستگاه آق قلا تغییرات ناگهانی و قابل توجهی از مقادیر آب قابل بارش دردو تصویر ماهواره TPW ای فوق الذکر داشته اند، پس از طرفی با آگاهی از مقادیر بروز از ماهواره، برای حوزه های سیل خیز کشور، می توان آنومالی های رطوبتی جو را پایش کرده و از طرف دیگر مدتها قبل از اینکه آب قابل بارش به مرحله بارش های سیل آسا مبدل گردند، پیش آگاهی های لازم را منتشر کرد. در نهایت برای اعتبار سنجی بیشتر مقادیر پیش بینی شده از مدلسازی، در ابتدا بایستی از ایستگاههای رادیوساوند بیشتری استفاده شده، تا در نهایت به بهترین مدل پیش بینی آب قابل بارش ماهواره ای بدون نیاز به هزینه های هنگفت سامانه رادیوساوند برای مناطق مختلف کشور دست پیدا کرد.

منابع و مأخذ

- ۱- علیزاده، امین، ۱۳۷۹ اصول هیدرولوژی کاربردی، چاپ دوازدهم، آستان قدس، دانشگاه امام رضا(ع).
 - ۲- امیدی، شیرین، ۱۳۷۹، طراحی و ساخت سیستم فرستنده و گیرنده رادیوساوند پروژه فاز اول، انتشارات سازمان هواسناسی کشور؛ سازمان پژوهش‌های علمی و صنعتی ایران.
 - ۳- پورباقر، سید مهدی، امکان سنجی استفاده از داده های رادیوساوند و تصاویر ماهواره ای MODIS در برآورد آب قابل بارش کلی (منطقه مورد مطالعه: ناحیه تهران)، پایان نامه دوره کارشناسی ارشد، دانشگاه تربیت مدرس، ۱۳۸۵.
- 4.Carlo, Olivieri, 1985, Remote sensing of precipitable water by a thermal infrared multichannel approach, *ActaAstronautica* Volume 12, Issue 2 , pages 121-125.

5. Princea S.D, Goetza S.J, Dubayaha R.O, Czajkowskia. K.P, Thawleya.M, 1998, Inference of surface and air temperature, atmospheric precipitable water and vapor pressure deficit using Advanced Very High-Resolution

جدول ۱- نتایج محاسبات مقادیر میانگین آب قابل بارش کلی رادیوساوند(به میلیمتر).

| Satellite TPW (2005/08/18) | Radiosond TPW (2005/08/18) | SatelliteTPW (2005/08/21) | RadiosondTPW (2005/08/21) |
|----------------------------------|-------------------------------|------------------------------|------------------------------|
| 17 to 2 | 12.04 | 11.21 | 22.25 |
| 18 to 2 | 24.58 | 19.56 | 49.49 |
| 19 to 2 | 18.22 | 16.46 | 32.25 |
| | | | 30.05 |

۵- نتیجه گیری

با توجه به قابلیت سنجنده MODIS در داشتن باندهای مخصوص جذبی بخار آب می توان رطوبت اندازه گیری شده توسط رادیوساوند را اعتبارسنجی کرد و نیز می توان با عملیاتی کردن داده های ماهواره ای، داده های ناقص یا احیاناً اشتباه در مسائل آب را اصلاح و کامل کرده و با نک جامعی از دادها در اختیار داشت و در موقع نیاز بازیابی کرد.

از آنجاییکه جو گرگانروود، جو مرطوب می باشد، ملکول های بخار آب بیش از ظرفیت جذبی باند شماره ۱۸ مادیس می باشد زیرا پهنای این باند باریکتر از سایر باندهای بخار آب است (۸۹۰ - ۹۲۰ نانومتر)، لذا قبل از اینکه این باند تمام سیگنانلهای حاصل از بخار آب را دریافت کند به مرحله اشباع شدگی می رسد و این عامل، خطای زیادی ایجاد می کند. پس مقادیر TPW های حاصل از نسبت باند جذبی قوی بخار آب به باند غیر جذبی (باند شماره ۲ مادیس) در شرایط اتمسفر خشک و نیمه خشک بهتر عمل می کند. در نتیجه باند مناسبی برای استخراج TPW برای جو مرطوب گرگانروود نمی باشد. میانگین مقادیر بدست آمده از نسبت باندی ۱۸ به ۲ سنجنده مادیس در حوالی ایستگاه آق قلا که به صورت بزرگنمایی در حاشیه سمت چپ تصویر نشان داده شده است.

از آنجاییکه پهنای باند شماره ۱۹ مادیس ۹۱۵ - ۹۶۵ نانومتر می باشد پس ضخامت آن ۵ برابر بیشتر از پهنای باند شماره ۱۸ مادیس است، لذا ظرفیت جذبی سیگنانلهای بخار آب بیشتری نسبت به باند شماره ۱۸ دارد، و قبل از مرحله اشباع شدگی تقریباً تمام بخار آب را کشف کرده و دقت خیلی بهتری نسبت باند شماره ۱۸ در نمایان سازی بخار آب جو گرگانروود ارائه می دهد.

نتایج آماری در جدول ۱ نشان می دهد که پهنای این باند ۸۹۰ - ۹۲۰ نانومتر که ضخامت آن ۳۰ نانومتر می باشد، نسبت باندی جذبی باند ۱۷ مادیس به باند غیر جذبی آن، دقت بیشتری از نسبت باندی ۱۸ به ۲ و دقت کمتری از نسبت باندی ۱۹ به ۲ دارد. با توجه به مطالب و تصاویر بالا می توان گفت در شرط عادی جو، نسبت های باندی ۱۹

Radiometer satellite observations: comparison with field observations” Journal of Hydrology 212–213 , 230–249

6. Ferraro, R. R. , F. Weng, N. C. Grody, and A. Basist, 1996: An eight year (1987–94) climatology of rainfall, clouds, water vapor, snowcover, and sea- ice derived from SSM/I measurements. Bull. Amer. Meteor. Soc. , 77, 894–905 .
7. Kaufman. Y. J, and Gao. B. C, 1992, Remote sensing of water vapor in the near IR from EOS/MODIS, IEEE Transaction on Geosciences and Remote Sensing, vol. 30, pp. 871–884
8. King, M. D. , Menzel, W. P. , Kaufman,Y. J. , Tanre, D. , Gao,B. C. , Platnick, S, Acherman. S. A. Remer, L. A. , Pincus, R. , & Hubanks, P. A., 2003.
9. Cloud and aerosol properties, precipitable water, and profiles of temperature and humidity from MODIS IEEE Transaction on Geoscience and Remote Sensing, Volume 41, Issue2, Page(s): 442 - 458.
10. Kleespies, T. J. , McMillin, L. M. , 1990, Retrieval of precipitable water from observations in the split window over varying surface temperatures, Journal of Applied Meteorology, 29, 851–862
11. Wang W, Sun. X, Zhang. R, Z. Li, Zhu. Z and H. Su, 2006, multi- layer perceptron neural network based algorithm for estimating precipitable water vapour from MODIS NIR data, International Journal of Remote Sensing, Vol. 27, No. 3, 617–621.